

Studying the ARP Spoofing Attack Effect on SDN Networks

Dr. BoushraMaala*
Mohammed Abd Al-Hameed**

(Received 11 / 11 / 2019. Accepted 8 / 3 / 2020)

□ ABSTRACT □

The mapping of Layer 3 (IP) to Layer 2 (MAC) addresses is a key service in IP networks, and is achieved via the Address Resolution Protocol (ARP) protocol in IPv4. Due to its stateless nature and lack of authentication, ARP is an easy goal to spoofing attacks, which can enable Denial of Service (DoS) or Man-in-the-Middle (MIM) attacks.

In this search, we discuss the problem of ARP spoofing in the context of Software Defined Networks (SDNs). We studied important parameters such as throughput, delay and the availability of the network. Results showed that ARP spoofing attacks was able to make a negative effects on network performance.

Keywords: SDN, ARP spoofing, Security, DoS, MIM.

* Associate Professor, Department of Communication and Electronics, Faculty of Mechanical and Electrical Engineering, Tishreen University, Lattakia, Syria. boushra.maala@gmail.com

** Postgraduate Student, Department of Communication and Electronics, Faculty of Mechanical and Electrical Engineering, Tishreen University, Lattakia, Syria
mohammedabdolhamed589@gmail.com

دراسة تأثير هجوم خداع ARP على الشبكات المعرفة بالبرمجيات SDN

د. بشرى معلا •

محمد عبد الحميد**

(تاريخ الإيداع 11 / 11 / 2019 . قُبِلَ للنشر في 8 / 3 / 2020)

□ ملخص □

تعد عملية التخطيط بين عناوين الطبقة الثالثة (IP) والطبقة الثانية (MAC) المفتاح الرئيسي في شبكات IP، وذلك من خلال بروتوكول دقة العناوين ARP في شبكات IPv4. بما أن هذا البروتوكول غير مستقر ولا يستخدم أي آلية للمصادقة فإنه يعد هدفاً سهلاً لهجمات الخداع. قد تؤدي هذه الهجمات بدورها إلى هجمات أعقد مثل هجوم الرجل في المنتصف MIM وهجوم حجب الخدمة DoS. ناقشنا في هذا البحث مشكلة هجوم خداع البروتوكول ARP من خلال الدراسة في سياق الشبكات المعرفة بالبرمجيات SDN. دُرست مجموعة من البارامترات الهامة مثل الإنتاجية والتأخير وتوافرية الشبكة. بينت النتائج أن هجمات خداع البروتوكول ARP قادرة على التأثير سلباً على أداء الشبكة.

الكلمات المفتاحية: الشبكات المعرفة بالبرمجيات، خداع ARP، الأمن، هجوم حجب الخدمة، هجوم الرجل في المنتصف.

• أستاذ مساعد، قسم هندسة الاتصالات والالكترونيات، كلية الهندسة الميكانيكية والكهربائية، جامعة تشرين، اللاذقية، سورية،

boushra.maala@gmail.com

** طالب ماجستير، قسم هندسة الاتصالات والالكترونيات، كلية الهندسة الميكانيكية والكهربائية، جامعة تشرين، اللاذقية، سورية،

mohammedabdolhamed589@gmail.com

مقدمة:

اعتبرت شبكات SDN الحل الواعد للشبكات المستقبلية. إن الفكرة الأساسية لشبكات SDN هي فصل مستوى التحكم عن مستوى البيانات، والسماح بالإدارة الفعالة والمرنة وتشغيل الشبكة من خلال البرمجيات. تؤدي الأجهزة (المبدلات والموجهات) في مستوى البيانات تمرير الرزم اعتماداً على قوانين منصبة من قبل المتحكم. يرى المنحكم في مستوى التحكم كامل البنية التحتية ويؤمن منصة فعّالة ومرنة لتطبيق خدمات وتطبيقات شبكات مختلفة. إضافة إلى ذلك، تسمح شبكات SDN بالإدارة المركزية للتحكم العكسي واتخاذ قرارات أفضل من خلال نظرة عامة عن الشبكة والمعلومات المتبادلة بين الطبقات [1]. يعد البروتوكول ARP من البروتوكولات الشهيرة المستخدمة ضمن شبكات SDN، حيث يمتلك كل جهاز ضمن الشبكة زوجاً من العناوين IP/MAC. عندما تريد عقدة ما إرسال البيانات لعقدة أخرى، تحتاج كلاً من هذين العنوانين للعقدة الهدف [2]. يعد البروتوكول ARP بروتوكولاً غير مستقر حيث يمكن لأية عقدة أن تتعامل مع رسالة ARP على أنها رسالة صحيحة علماً أنها قد تأتي من عقد مهاجمة. الأمر الذي قد يؤدي بدوره إلى حصول هجوم خداع بروتوكول ARP (ARP Spoofing). يعد هذا الهجوم من أخطر الهجمات التي قد تتعرض لها الشبكة حيث من الممكن أن تنتج عنه هجمات أعقد مثل هجوم الرجل في المنتصف Man-in-the-Middle (MIM) أو هجوم حجب الخدمة Denial of Service (DoS) وغيرها من الهجمات [3].

أهمية البحث وأهدافه:

تأتي أهمية هذا البحث من حيث أنه يتناول موضوعاً حديثاً نسبياً. تتركز الدراسات لإيجاد تعديلات إما في التطبيقات التي تتعامل معها شبكات SDN أو التعديل في البروتوكول ARP من أجل تحصينه ضد الهجمات. يهدف هذا البحث إلى تحليل هجوم الرجل في المنتصف MIM المعتمد على هجوم خداع ARP، وهذا الجانب غاية في الأهمية خاصة في مثل هكذا نوع من الشبكات، وذلك لأنه في حال تمكن المهاجم من الاستماع إلى الاتصال بين أي مضيفين فإنه سيكون قادراً على الوصول إلى الرزم التي يرسلها المتحكم المسؤول عن الشبكة، وبالنتيجة سيؤدي إلى السيطرة على كامل الشبكة.

طرائق البحث ومواده:

طبقت سيناريوهات المحاكاة باستخدام متحكم Floodlight [4] مدمج مع محاكي mininet 2.2 باستخدام نظام Ubuntu 14.0 [5]. كما استخدمت مجموعة من الأدوات التي يتيحها هذا المحاكي من أجل قياس البارامترات في الشبكة حيث درست الإنتاجية throughput من خلال الأداة iperf [6] ونفذ هجوم خداع ARP باستخدام الأداة DSniff [7]، وأيضاً اعتمدت الأداة Cbench [8] من أجل دراسة التأخير (الذي يمثل الزمن اللازم لانتقال رزمة بين المضيفين ووصول رسالة الرد acknowledgment وهو ما يسمى بزمن الذهاب والعودة RoundTripTime) والإنتاجية في المتحكم (والتي تمثل معدل البتات التي تصل بشكل سليم خلال واحدة الزمن). اعتمد هجوم رجل في المنتصف إذ سيتم العمل على ثلاثة أنواع من أشهر الطوبولوجيات في شبكات SDN وهي الطوبولوجيا ذات الشبكة الشجرية [9] والطوبولوجيا ذات المبدل الوحيد [10] والطوبولوجيا الخطية [11].

1. الشبكات المعرفة بالبرمجيات SDN

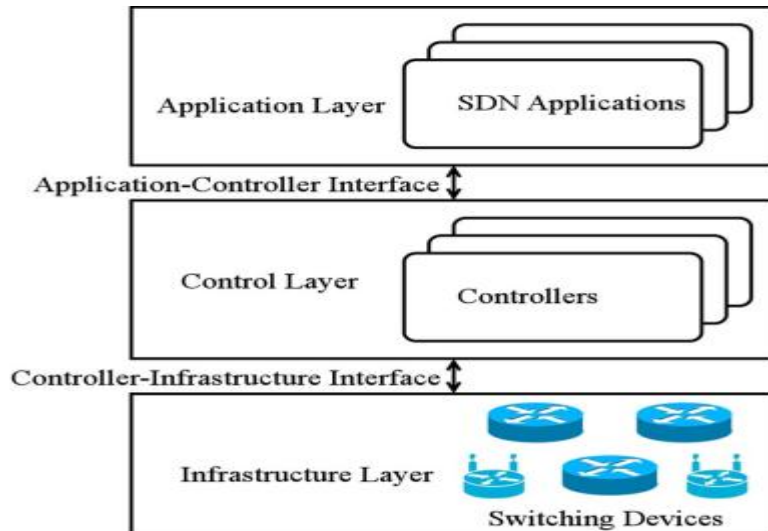
تعد منظمة التشبيك المفتوح [12] Open Networking Foundation (ONF) مؤسسة غير ربحية مسؤولة عن التطوير ووضع المعايير والتسويق لشبكات SDN. لقد قدمت هذه المؤسسة أكثر تعريف منطقي لهذه الشبكات بأنها بنية شبكة جديدة بحيث أن التحكم بالشبكة مفصول عن التميرير كما أنها قابلة للبرمجة مباشرة. تتلخص فكرة شبكات SDN بأنها تؤمن قابلية البرمجة من خلال الفصل بين مستويي التحكم والتطبيقات. أي تتضمن شبكات SDN أجهزة شبكة بسيطة قابلة للبرمجة بدلاً من زيادة تعقيد أجهزة الشبكة كما هو الحال في التشبيك الفعال. علاوةً على ذلك، تؤمن شبكات SDN فصل المستويين من خلال تصميم بنية الشبكة. بهذا التصميم، سيكون ممكناً التحكم بالشبكة بشكل منفصل ضمن مستوى التحكم دون التأثير على تدفق المعطيات. يمكن أن يؤخذ ذكاء الشبكة من أجهزة التبديل ويوضع في المتحكمات. في نفس الوقت، فإن أجهزة التبديل يمكن التحكم بها من خلال البرمجيات. يؤمن الفصل بين مستويي التحكم والمعطيات ليس فقط بيئة بسيطة قابلة للبرمجة، وإنما يعطي حرية أكبر للبرمجيات الخارجية لتعريف سلوك الشبكة.

1.1 البنية الطبقيّة لشبكات SDN

لقد اقترحت الـ ONF نموذجاً مرجعياً لشبكات SDN كما هو مبين في (Error! Unknown switch argument). يتألف هذا النموذج من ثلاث طبقات [12,1] هي طبقة البنية التحتية وطبقة التحكم وطبقة التطبيقات متوضعة فوق بعضها البعض.

1. طبقة البنية التحتية (Infrastructure Layer):

تتألف من أجهزة التبديل (مبدلات، موجهات...) في مستوى البيانات. وظيفة أجهزة التبديل هذه مضاعفة، فهي تعد المسؤولة عن تجميع حالة الشبكة وتخزينها مؤقتاً ضمن أجهزة محلية وإرسالها إلى المتحكم. قد تتضمن حالة الشبكة معلومات مثل طوبولوجيا الشبكة، وحالة الحركة، واستخدامات الشبكة، كما أنها المسؤولة عن معالجة الرزم المرتكزة على قوانين موضوعة من قبل المتحكم.



الشكل (1): البنية الطبقيّة لشبكات SDN

2. طبقة التحكم (Control Layer):

تصل ما بين طبقة البنية التحتية وطبقة التطبيقات من خلال واجهتها. من أجل الوصلة بالاتجاه السفلي (تسمى واجهة جنوبية) والتي تتفاعل مع طبقة البنية التحتية فإنها تحدد الوظائف للمتحكمات من أجل الوصول إلى الوظائف المقدمة من قبل أجهزة التبديل. قد تتضمن هذه الوظائف تقارير عن الشبكة وقوانين تمرير الرزم. من أجل الوصلة بالاتجاه العلوي (تسمى واجهة شمالية) والتي تتفاعل مع طبقة التطبيقات فإنها تؤمن نقاط الوصول للخدمة بصيغ مختلفة، على سبيل المثال، واجهة التطبيق القابلة للبرمجة (API) Application Programming Interface. يمكن لتطبيقات SDN الوصول إلى التقارير عن معلومات حالة الشبكة المقدمة من أجهزة التبديل من خلال هذه الـ APIs، وجعل قرارات النظام مرتكزة على هذه المعلومات، وتحمل هذه القرارات من خلال وضع قوانين التوجيه للرزم لأجهزة التبديل أيضاً من خلال هذه الواجهات. من الممكن وجود أكثر من متحكم بغرض زيادة الإدارة للشبكة، وهذا يستدعي الحاجة إلى واجهات اتصال شرق-غرب (east-west) بين المتحكمات من أجل مشاركة معلومات الشبكة والتنسيق فيما بينها لاتخاذ القرارات.

3. طبقة التطبيقات (Application Layer):

تحتوي على تطبيقات SDN المصممة لتلبي رغبات المستخدمين. من خلال المنصات القابلة للبرمجة المزودة من قبل طبقة التحكم، تكون تطبيقات SDN قادرة على الوصول إلى أجهزة التبديل في طبقة البنية التحتية والتحكم بها.

2.1 المتحكمات في شبكات SDN

يوجد العديد من المتحكمات المستخدمة في شبكات SDN والجدول (1) يبين الفرق بين أشهر أنواع المتحكمات [12,13].

جدول 1: مقارنة بين أنواع المتحكمات

الخصائص	المنظمة المسؤولة عنه	لغة البرمجة المستخدمة	الاسم
أول متحكم في شبكات SDN	Stanford	C++/Python	NOX/POX
يدعم العمليات المقادة بالأحداث ومزود بواجهة WebGUI	Stanford	Java	Beacon
سهولة التطوير والكثير من التوثيق	Big Switch	Java	Floodlight
مدعوم من قبل OpenStack	NTT laboratories	Python	Ryu
مزود بـ WebGUI وواجهات قابلة للبرمجة	Linux Foundation	Java	Open Daylight

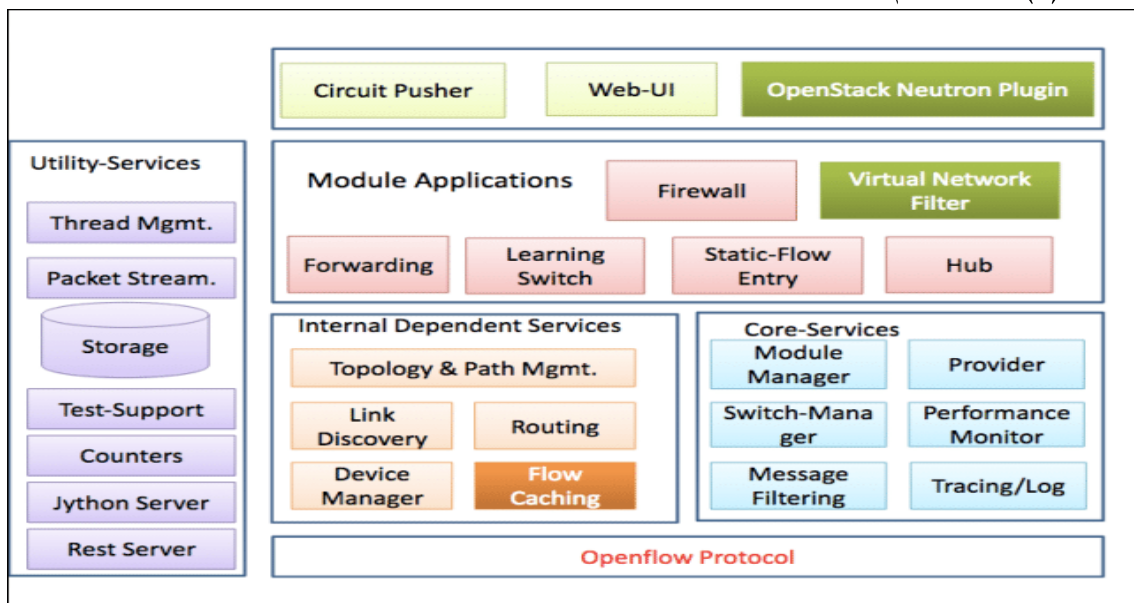
3.1 المتحكم Floodlight

هو متحكم مفتوح المصدر وذو واجهة Web، مبني بلغة Java وأحد أكثر أنواع متحكمات SDN شيوعاً [4]. تقسم بنية المتحكم Floodlight إلى مجموعة من الوحدات حيث يوجد وحدة للإدارة ووحدة للطوبولوجيا وموازنة الحمل.

يمكن النفاذ لهذه الوحدات من خلال واجهة المستخدم الرسومية المعتمدة على الإنترنت WebGUI. يقدم المتحكم واجهة قابلة للبرمجة بحيث يمكن للتطبيقات الوصول إلى المتحكم والشبكة. يستخدم البروتوكول Link Layer Discovery Protocol (LLDP) [14] لاكتشاف طوبولوجيا الشبكة. يتعامل مع الأجهزة في الشبكة ويحول رسائل Open Flow [15] إلى أحداث.

يعتمد على ثلاث واجهات أساسية للأحداث هي Switch Listener و Device Listener و Message Listener. تستخدم الواجهة Switch Listener لاستقبال الإشعارات عندما يتم اتصال/قطع اتصال مبدل بالإنترنت أو في حال تغير حالة المنفذ. بينما تستخدم الواجهة Device Listener لإعطاء إشعارات عندما تتم إضافة، إزالة أو تغيير عنوان IP لجهاز ضمن الشبكة. وتستخدم الواجهة Message Listener عند استقبال رزمة من قبل المتحكم، فعند استقبال رزمة يقوم التطبيق بمعالجتها واتخاذ الإجراء المناسب. يؤمن متحكم Floodlight نوعين من التطبيقات: التفاعلية والاستباقية.

يبين الشكل (2) بنية المتحكم Floodlight [16].



الشكل (2): بنية المتحكم Floodlight

4.1 الأمن في شبكات SDN

إن طبيعة تصميم شبكات SDN جعل الهجمات عليها أكثر خطورةً مقارنةً مع الشبكات التقليدية. رغم ذلك فهي تمتلك بعض المزايا الخاصة [17]. فنذكر من إيجابياتها ما يأتي:

✓ الرقابة الفعالة للحركة غير الطبيعية (Effective monitoring of abnormal traffic):

يملك المتحكم نظرة عامة عن عمل الشبكة والحركة بشكل متزامن، لذا سيكون من السهل ملاحظة السلوك غير الطبيعي في حركة الشبكة والمسبب من قبل المهاجم.

✓ التعامل الزمني مع نقاط الضعف (Timely dealing with vulnerabilities):

من المزايا الهامة لشبكات SDN هي بيئة الشبكة القابلة للبرمجة، حيث أنه في حال اكتشاف هجوم جديد فإنه يمكن للمشغل أن يقوم بإعداد برمجيات جديدة للتحليل والتعامل مع هذه المخاطر دون انتظار زمن حتى يُحدَّث نظام التشغيل أو تُحدَّث برمجيات التطبيق في الأجهزة من قبل المصنع.

من ناحية أخرى تواجه شبكات SDN عدة مخاطر:

✓ المتحكم الضعيف (Vulnerable controller):

تتركز معظم الوظائف، مثل تجميع معلومات الشبكة وإعداد الشبكة وحسابات التوجيه في متحكم SDN. ففي حال تمكن المهاجم من السيطرة عليه فإنه سيكون قادراً على إصابة الشبكة بشكل شلل من ناحية الخدمات وقد يؤثر على كامل الشبكة المغطاة من قبل المتحكم.

✓ المخاطر المسببة من قبل الواجهات القابلة للبرمجة (Risks caused by open program able Interfaces):

وفقاً لطبيعة هذه الشبكات، فإن شبكات SDN هي الأكثر عرضة للمخاطر الأمنية. أولاً، هذه الشبكات تجعل البرمجيات في متحكم SDN مكشوفة للمهاجمين، وفي النهاية سيمتلك المعلومات الكافية لتشكيل استراتيجية الهجوم. ثانياً، يزود المتحكم طبقة التطبيقات بعدد كبير من الواجهات القابلة للبرمجة يمكن أن يسبب هذا المدى من الانفتاح إلى سوء استخدام الواجهات مثل إضافة كود برمجي مزيف كفايروس. لذلك فإن الواجهات المفتوحة لمتحكمات SDN تحتاج إلى التطوير بدقة.

2. بروتوكول دقة العناوين (ARP(Address Resolution Protocol))

يعد البروتوكول ARP من البروتوكولات الشهيرة المستخدمة ضمن شبكات SDN، يمتلك كل جهاز ضمن الشبكة زوجاً من العناوين IP/MAC. عندما تريد عقدة ما إرسال البيانات لعقدة أخرى، تحتاج كلاً من هذين العنوانين للعقدة الهدف [2]. يتم تزويد عنوان IP للعقدة الهدف من خلال بعض بروتوكولات الطبقات العليا ضمن نموذج OSI المعياري. نحتاج من أجل إيجاد عنوان الـ MAC إلى بروتوكول دقة العناوين ARP. إن البروتوكول ARP هو بروتوكول طبقة ثانية يقوم بإيجاد عنوان MAC عندما يكون عنوان IP معروفاً. ويحافظ أيضاً جدول ARP على تخطيط العناوين ما بين IP-MAC ضمن الذاكرة المخبئية (cache). والشكل الآتي يبين مثالاً على جداول ARP.

```
Router#show ip arp
```

Protocol	Address	Age (min)	Hardware Addr	Type	Interface
Internet	172.16.233.229	-	0000.0c59.f892	ARPA	Ethernet0/0
Internet	172.16.233.218	-	0000.0c07.ac00	ARPA	Ethernet0/0
Internet	172.16.168.11	-	0000.0c63.1300	ARPA	Ethernet0/0
Internet	172.16.168.254	9	0000.0c36.6965	ARPA	Ethernet0/0

الشكل(3): مثال عن جدول ARP ضمن ذاكرة cache في موجه Cisco

تتألف بنية إطار ARP بشكل عام من الحقول المبينة في الشكل (4).

Preamble	Dest MAC	Src MAC	Ether Type (0x0806)
Hardware Type		Protocol Type	
Hardware Length	Protocol Length	Operation (Request 1, Reply 2)	
Sender Hardware Address (SHA)			
Sender Protocol Address (SPA)			
Target Hardware Address (THA)			
Target Protocol Address (TPA)			
Frame check sequence			

الشكل(4): بنية إطار ARP

وتكون الحقول الرئيسية لهذا البروتوكول هي:

Sender Hardware Address (SHA): العنوان الفيزيائي للمرسل MAC.

Target Hardware Address (THA): العنوان الفيزيائي للهدف MAC.

Sender Protocol Address (SPA): العنوان المنطقي للمرسل IP.

Target Protocol Address (TPA): العنوان المنطقي للهدف IP.

عندما تريد عقدة ما أن ترسل بياناتها إلى عقدة أخرى، فإنها تحتاج لإنشاء إطار، يجب أن يحتوي هذا الإطار على عناوين MAC لكل من عقدي المصدر والهدف. تقوم العقدة المرسله بفحص جدول ARP الخاص بها لإيجاد عنوان الـ MAC للهدف. في حال لم يكن عنوان MAC موجوداً تقوم هذه العقدة بإرسال طلب ARP (ARP request) كرسالة بث عام إلى جميع العقد الموجودة ضمن شبكة LAN بحيث يكون حقل عنوان MAC للهدف في طلب ARP هو FF-FF-FF-FF-FF-FF. تستقبل كل العقد ضمن LAN طلب ARP وتتفحص فيما إذا كان عنوان IP ضمن هذا الطلب هو عنوان IP الخاص بهذه العقدة. تقوم العقدة التي يتطابق عنوان IP الخاص بها مع عنوان IP في طلب ARP بإرسال إجابة ARP (ARP reply) إلى العقدة المطلوبة.

1.2 هجوم خداع ARP (ARP Spoofing)

المشكلة الأساسية في البروتوكول ARP أنه يعالج كل طلب أو إجابة (request or reply) بشكل مستقل عن أي اتصال سابق. كنتيجة لذلك، سيقتبل المضيف بسهولة المعلومات من رسائل ARP reply دون أن يرسل أي طلب. وبما أنا لبروتوكول ARP لا يملك أية آلية تحقق من المرسل لرزمة ARP سواء طلب أم إجابة، ولا يملك أية آلية للتأكد من صحة المعلومات الموجودة في الرسالة، فإنه من السهل على المهاجم السيطرة على ذاكرة ARP الخاصة بالمضيفين من خلال تخطيط مزيف لعنواني IP-MAC. كل ما يحتاج المهاجم القيام به هو تعديل رسالة الطلب أو الإجابة بحقل SPA خاطئ، فيستقبل المضيف الرسالة ويحدث جدول ARP الخاص به على أساسها [10].

2.2 المخاطر الناتجة عن هجوم خداع ARP

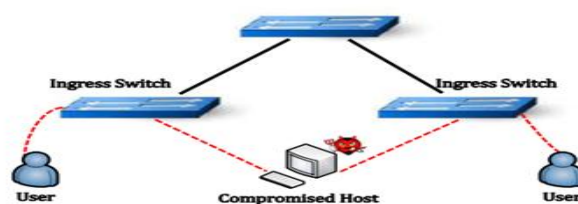
قد تستخدم هجمات خداع ARP كجزء من هجمات كبيرة على الشبكة منها [10]:

1. هجوم حجب الخدمة (Denial of Service (DoS): يقوم المهاجم بتزييف جدول ARP لمضيف ما، وبذلك ترسل الرزم المرسله إلى هذا المضيف إلى المهاجم بدلاً منه وبذلك يتمكن المهاجم من حجب الاتصالات من وإلى المضيف.
2. انتحال شخصية المضيف Host impersonation: بدلاً من إهمال الرزم التي استقبلت، يقوم المهاجم بالرد عليها ويمكن انتحال شخصية أي مضيف في الشبكة.

3. هجوم الرجل في المنتصف (MIM) Man-in-the-middle: من خلال خداع مضيفين ضمن الشبكة، إذ يمكن للمهاجم أن يتوضع في منتصف الاتصال بين المضيفين والاستماع إلى الاتصالات بين هذين المضيفين. يكون بذلك المهاجم قادراً على الاستماع إلى الحركية المرسله في الاتجاهين كليهما. كما يمكن القيام بهذا الهجوم بين مضيف وبوابة العبور gateway في الشبكة من أجل التنصت على الاتصالات الخارجة من الشبكة.

3. هجوم الرجل في المنتصف (MIM (Man-in-the-Middle):

يمثل هجوم الرجل في المنتصف كما هو مبين في الشكل(5)، طريقةً كلاسيكيةً لاقتحام الشبكة. إن الفكرة الأساسية له هي من خلال حقن عقدة دخيلة ما بين عقدتي المصدر والهدف بهدف اعتراض معلومات الاتصال والتلاعب بها دون أن يتم كشف ذلك من قبل أي من أطراف الاتصال [18].

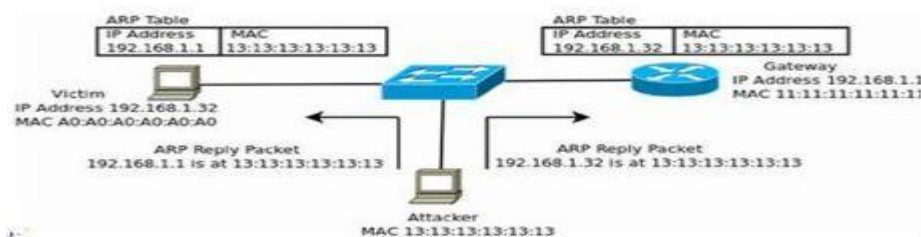


الشكل(5): هجوم MIM

من بعض الأمثلة على هجمات الرجل في المنتصف في هذه الشبكات:

1. خداع ARP (ARP Spoofing)
2. خداع (DNS Spoofing)
3. سرقة الجلسة (Session Hijacking)

من أشهر أساليب هجوم الرجل في المنتصف MIM هو خداع ARP، حيث يمكن للمهاجم أن يخدع مضيفين اثنين ضمن الشبكة في نفس الوقت كما هو مبين في Error! Unknown switch argument.، عندها يتمكن المهاجم من الاستماع بصمت إلى الحركية بين العقدتين. في هذه الحالة، يستطيع المهاجم الوصول إلى معلومات سرية كما يمكن له أن يعدل المعلومات المرسله.



الشكل(6): هجوم الرجل في المنتصف اعتماداً على البروتوكول ARP

في حال نُفذ هجوم الرجل في المنتصف MIM بنجاح ضمن شبكة SDN سيؤدي إلى هجمات أخرى منها هجوم حجب الخدمة (DoS) Denial of Service، بحيث يغرق المتحكم بالبرم على اعتبار أنه أصبح من عقد الشبكة مما يتسبب في حجب المتحكم عن القيام بوظائفه.

يصنف هذا النوع من الهجمات كهجوم مثالي ضد شبكة SDN، حيث يمكن له اعتراض قواعد التمرير الموجهة للمبدل والحصول على التحكم الكامل بالشبكة. وبعد إنجاز ذلك يمكن تطبيق العديد من الهجمات من قبل المهاجمين، مثل هجوم النقب الأسود [19] Blackhole attack.

قد لا يكون الاتصال ما بين المتحكم والمبدل مباشراً وإنما عن طريق مجموعة من أجهزة التبديل الأخرى. لذلك فإن كل المبدلات والمضيفين المتصلة معهم في مسار الاتصال قد تصبح عقد مستخدمة من قبل هجوم MIM.

4. سيناريو الهجوم

تمت دراسة شبكة مكونة من ثمانية مضيفين، تمثل العقدان h1 و h8 العقد الضحية والتي سيطبق عليها هجوم MIM، وتمثل العقدة h2 العقدة الخبيثة التي ستنفذ هذا الهجوم. طبق هجوم الرجل في المنتصف باستخدام الأداة DSNIFF من أجل السيطرة على جداول ARP الخاصة بالعقد التي يراد مهاجمتها.

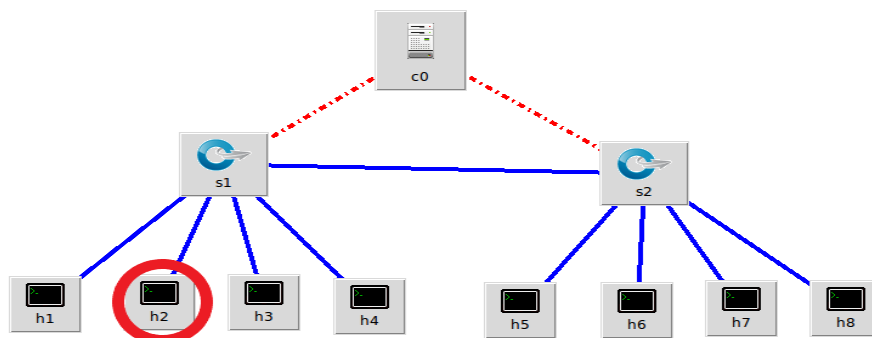
اعتمدت معظم الأبحاث على مهاجمة المتحكم من عقدة من خارج الشبكة (هجوم خارجي) وذلك لأنه عند السيطرة على المتحكم فإنه عندها يمكن السيطرة على كامل الاتصالات ضمن الشبكة. درسنا في هذا البحث حالتين: في الحالة الأولى دُرست ثلاثة سيناريوهات اعتمدت على أن إحدى عقد الشبكة تمت السيطرة عليها (هجوم داخلي)، وبعد ذلك قامت العقدة المهاجمة بالعمل وفق سيناريوهات مختلفة بحسب كل طوبولوجيا من الطوبولوجيات المدروسة. أما في الحالة الثانية دُرست الهجوم على المتحكم (هجوم خارجي) وحُسب كل من الإنتاجية والتأخير باستخدام الأداة Cbench.

5. نموذج الشبكة

تتألف الشبكة من المتحكم Floodlight مع توزيع للمبدلات والمضيفين بحسب نوع الطوبولوجيا المدروسة، حيث سُندرس ثلاثة أنواع من الطوبولوجيات في شبكات SDN هي الطوبولوجيا الشجرية والطوبولوجيا ذات المبدل الوحيد والطوبولوجيا الخطية. سيطبق في السيناريوهات الثلاثة السابقة الذكر الهجوم بين المضيفين في الشبكة، أما في السيناريو الرابع سيدرس التأخير والإنتاجية الخاصة بالمتحكم في حال تعرضه للهجوم بشكل مباشر.

1.5 السيناريو الأول

سندرس في هذا السيناريو الطوبولوجيا الشجرية Treetopology المبينة في الشكل (7) سنعتمد على وجود متحكم مع مبدلين و ثمانية مضيفين كل أربعة منها متصلة مع مبدل، وعرض حزمة الوصلات بين عناصر الشبكة هو 200Mbit، وبفرض أن الوصلات دون خسارة أو تأخير.



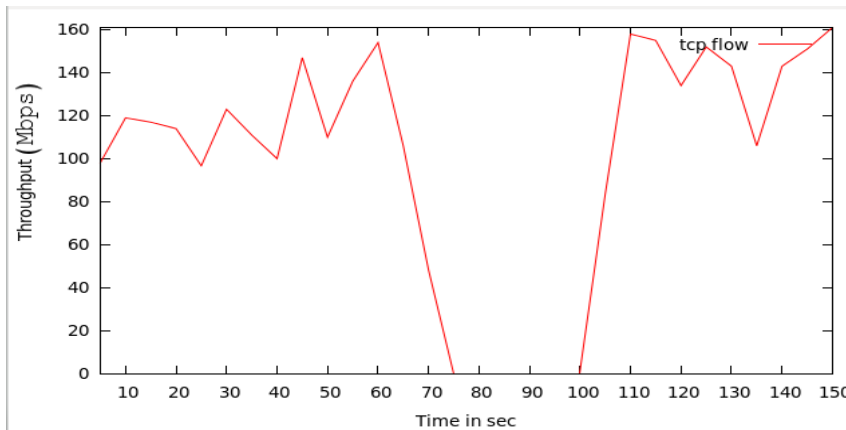
الشكل(7): شبكة SDN ذات طوبولوجيا شجرية

في المرحلة الأولى تقوم العقدة المهاجمة h2 بالتصت على الاتصالات ما بين العقدتين المهاجمتين. من خلال الواجهة التالية باستخدام برنامج Wireshark نلاحظ كيفية مرور جميع الرزم المرسل من العقدة المصدر ذات العنوان 10.0.0.1 إلى العقدة الهدف ذات العنوان 10.0.0.8 عبر المهاجم ذو العنوان 10.0.0.2 حيث تعرض الواجهة أنه في الحالة البدائية (ضمن المستطيل الأخضر) كيفية إرسال رزم ARP بشكل مستمر من أجل السيطرة على الاتصال وعندما تبدأ إحدى العقدتين بالإرسال نلاحظ كيفية بدء توجيه هذه الرزم عن طريق العقدة المهاجمة h2 كما هو مبين في الشكل (8).

10	7.453883000	00:00:00:00:00:02	00:00:00:00:00:08	ARP	42	10.0.0.1	is at	00:00:00:00:00:02 (duplicate use of 10.0.0.8 detected!)
11	8.000649000	00:00:00:00:00:02	00:00:00:00:00:01	ARP	42	10.0.0.8	is at	00:00:00:00:00:02
12	9.453922000	00:00:00:00:00:02	00:00:00:00:00:08	ARP	42	10.0.0.1	is at	00:00:00:00:00:02 (duplicate use of 10.0.0.8 detected!)
13	10.000791000	00:00:00:00:00:02	00:00:00:00:00:01	ARP	42	10.0.0.8	is at	00:00:00:00:00:02
14	11.454082000	00:00:00:00:00:02	00:00:00:00:00:08	ARP	42	10.0.0.1	is at	00:00:00:00:00:02 (duplicate use of 10.0.0.8 detected!)
15	12.001145000	00:00:00:00:00:02	00:00:00:00:00:01	ARP	42	10.0.0.8	is at	00:00:00:00:00:02
16	13.454205000	00:00:00:00:00:02	00:00:00:00:00:08	ARP	42	10.0.0.1	is at	00:00:00:00:00:02 (duplicate use of 10.0.0.8 detected!)
17	14.001297000	00:00:00:00:00:02	00:00:00:00:00:01	ARP	42	10.0.0.8	is at	00:00:00:00:00:02
18	15.454341000	00:00:00:00:00:02	00:00:00:00:00:08	ARP	42	10.0.0.1	is at	00:00:00:00:00:02 (duplicate use of 10.0.0.8 detected!)
19	16.001631000	00:00:00:00:00:02	00:00:00:00:00:01	ARP	42	10.0.0.8	is at	00:00:00:00:00:02
20	17.454475000	00:00:00:00:00:02	00:00:00:00:00:08	ARP	42	10.0.0.1	is at	00:00:00:00:00:02 (duplicate use of 10.0.0.8 detected!)
21	18.001745000	00:00:00:00:00:02	00:00:00:00:00:01	ARP	42	10.0.0.8	is at	00:00:00:00:00:02
22	19.454861000	00:00:00:00:00:02	00:00:00:00:00:08	ARP	42	10.0.0.1	is at	00:00:00:00:00:02 (duplicate use of 10.0.0.8 detected!)
23	19.768820000	10.0.0.8	10.0.0.1	TCP	74	60161-5566 [SYN] Seq=0 Win=29200 Len=0 MSS=1460 SACK_PERM=1 TSval=1206336 TSecr=0 WS=512		
24	19.768846000	10.0.0.2	10.0.0.8	ICMP	102	Redirect (Redirect for host)		
25	19.768849000	10.0.0.8	10.0.0.1	TCP	74	[TCP Out-Of-Order] 60161-5566 [SYN] Seq=0 Win=29200 Len=0 MSS=1460 SACK_PERM=1 TSval=1206336 TSecr=12063		
26	19.773328000	10.0.0.1	10.0.0.8	TCP	74	5566-60161 [SYN, ACK] Seq=0 Ack=1 Win=28960 Len=0 MSS=1460 SACK_PERM=1 TSval=1206338 TSecr=12063		
27	19.773340000	10.0.0.2	10.0.0.1	ICMP	102	Redirect (Redirect for host)		
28	19.773342000	10.0.0.1	10.0.0.8	TCP	74	[TCP Out-Of-Order] 5566-60161 [SYN, ACK] Seq=0 Ack=1 Win=28960 Len=0 MSS=1460 SACK_PERM=1 TSval=1206338 TSecr=12063		
29	19.775590000	10.0.0.8	10.0.0.1	TCP	66	60161-5566 [ACK] Seq=1 Ack=1 Win=29696 Len=0 TSval=1206339 TSecr=1206338		
30	19.775605000	10.0.0.8	10.0.0.1	TCP	90	60161-5566 [PSH, ACK] Seq=1 Ack=1 Win=29696 Len=24 TSval=1206339 TSecr=1206338		
31	19.775611000	10.0.0.8	10.0.0.1	TCP	90	[TCP Retransmission] 60161-5566 [PSH, ACK] Seq=1 Ack=1 Win=29696 Len=24 TSval=1206339 TSecr=1206338		
32	19.775614000	10.0.0.8	10.0.0.1	TCP	66	60161-5566 [ACK] Seq=1 Ack=1 Win=29696 Len=0 TSval=1206339 TSecr=1206338		
33	19.775634000	10.0.0.8	10.0.0.1	TCP	2962	60161-5566 [ACK] Seq=25 Ack=1 Win=29696 Len=2896 TSval=1206339 TSecr=1206338		
34	19.775638000	10.0.0.8	10.0.0.1	TCP	2962	[TCP Retransmission] 60161-5566 [ACK] Seq=25 Ack=1 Win=29696 Len=2896 TSval=1206339 TSecr=1206338		

الشكل (8): تنفيذ هجوم الرجل في المنتصف

من ثم تم تطوير الهجوم من خلال منع الخدمة بشكل نهائي عن طريق إنشاء اتصال بين المضيفين لمدة ثلاث دقائق بحيث يكون الاتصال في الدقيقة الأولى دون وجود هجوم، ثم يهاجم الاتصال لمدة نصف دقيقة ومن ثم تتم إعادة الاتصال فيما تبقى من زمن الاتصال. عند رسم مخطط الإنتاجية نحصل على الشكل (9)



الشكل (9): مخطط الإنتاجية لشبكة شجرية قبل وأثناء وبعد تنفيذ هجوم حجب الخدمة

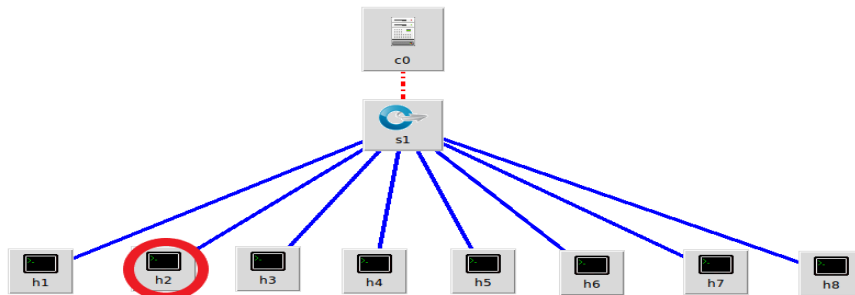
نلاحظ من خلال المخطط أنه لمدة 60 ثانية تقريباً كان يتم الاتصال بشكل طبيعي بين العقدتين h1 و h8، وعند بدء الهجوم في الثانية 60 نلاحظ كيفية انخفاض الإنتاجية حتى تصل إلى قيمة الصفر في الثانية 75 تقريباً وذلك بسبب هجوم حجب الخدمة المطبق بين هذين المضيفين، وبعد إيقاف الهجوم في الثانية 90 نلاحظ أن الشبكة احتاجت مدة

زمنية حوالي 10 ثوان حتى تمكنت من استعادة الاتصال ومن ثم بدأت الإنتاجية بالتزايد بشكل مشابه للحالة ما قبل الهجوم.

2.5 السيناريو الثاني

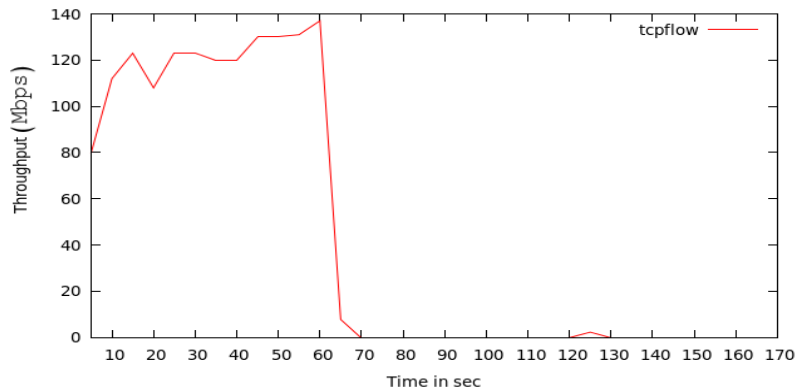
سندرس في هذا السيناريو الطوبولوجيا ذات المبدل الوحيد Single Switch topology المبينة في الشكل (10) سوف نعتمد على وجود متحكم مع مبدل وحيد وثمانية مضيفين متصلة معه، وعرض حزمة الوصلات بين عناصر الشبكة هو 200Mbit، وبفرض أن الوصلات دون خسارة أو تأخير.

اعتمد في هذه الطوبولوجيا على سيناريو مختلف عن الشبكة السابقة حيث أنشأنا اتصال بين المضيفين لمدة ثلاث دقائق بحيث يكون الاتصال للدقيقة الأولى دون وجود هجوم ثم يُهاجم الاتصال لمدة دقيقة أخرى ومن ثم يعاد الاتصال فيما تبقى من زمن الاتصال.



الشكل (10): شبكة SDN ذات طوبولوجيا بمبدل وحيد

وعند رسم مخطط الإنتاجية نحصل على الشكل (11)

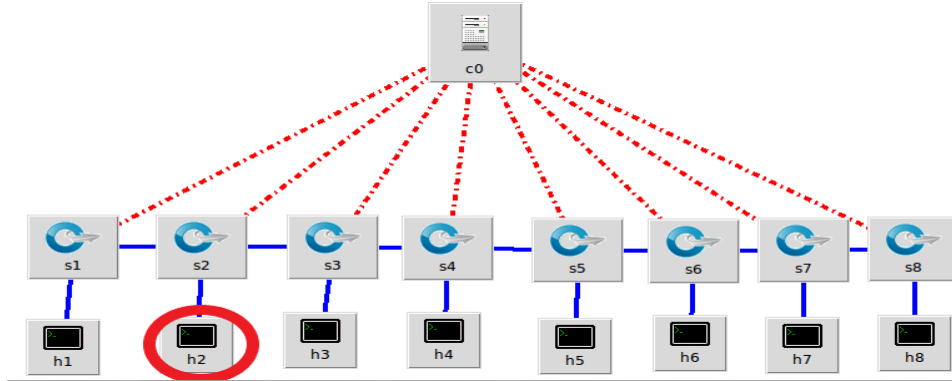


الشكل (11): مخطط الإنتاجية لشبكة ذات مبدل وحيد قبل وأثناء وبعد تنفيذ هجوم حجب الخدمة

نلاحظ من خلال المخطط أنه لمدة دقيقة تقريباً كان يتم الاتصال بشكل طبيعي بين العقدتين h1 و h8 وعند بدء الهجوم في الثانية 60 نلاحظ انخفاض الإنتاجية حتى تصل إلى قيمة الصفر وذلك بسبب هجوم حجب الخدمة المطبق بين هذين المضيفين وبعد إيقاف الهجوم في اللحظة 120 نلاحظ أن الشبكة لم تتمكن من استعادة الاتصال بين هاتين العقدتين مما أدى إلى حجب الخدمة حتى بعد انتهاء الهجوم.

3.5 السيناريو الثالث

سندرس في هذا السيناريو الطوبولوجيا الخطية Linear topology المبينة في الشكل (12) سوف نعتمد على وجود متحكم متصل مع ثمانية مبدلات و ثمانية مضيفين متصلة معها وعرض حزمة الوصلات بين عناصر الشبكة هو 200Mbit وبفرض أن الوصلات دون خسارة أو تأخير.



الشكل(12): شبكة SDN ذات طوبولوجيا خطية

في هذا السيناريو اعتمدنا على برنامج Wire shark لتحليل الرزم التي ترد إلى المتحكم باستخدام البروتوكول Open flow حيث تمت مراقبة الرزم التي ترد قبل تنفيذ الهجوم كما هو مبين في الشكل (13) وأثناء تنفيذ الهجوم كما هو مبين في الشكل (14) حيث تم تنفيذ الهجوم باستخدام العقدة h2 على الاتصال ما بين العقدتين h1 و h8 حيث تم إنشاء الاتصال باستخدام الأداة Iperf وذلك باستخدام بروتوكول النقل TCP ولمدة 3

7168	204.36269506	127.0.0.1	127.0.0.1	OpenFlow	74 Type: OFPT_ECHO_REQUEST
7169	204.36271706	127.0.0.1	127.0.0.1	OpenFlow	74 Type: OFPT_ECHO_REPLY
7170	204.36274206	127.0.0.1	127.0.0.1	TCP	66 6653-35293 [ACK] Seq=45376 Ack=27543 Win=3327 Len=0 TSval=44005 TSecr=44005
7171	204.36327306	127.0.0.1	127.0.0.1	OpenFlow	74 Type: OFPT_ECHO_REPLY
7172	204.36333006	127.0.0.1	127.0.0.1	TCP	66 6653-35289 [ACK] Seq=43609 Ack=20215 Win=4734 Len=0 TSval=44005 TSecr=44005
7173	204.36362906	127.0.0.1	127.0.0.1	OpenFlow	74 Type: OFPT_ECHO_REQUEST
7174	204.36395606	127.0.0.1	127.0.0.1	OpenFlow	74 Type: OFPT_ECHO_REPLY
7175	204.36398206	127.0.0.1	127.0.0.1	TCP	66 6653-35286 [ACK] Seq=45731 Ack=33963 Win=4222 Len=0 TSval=44006 TSecr=44006
7176	204.36398706	127.0.0.1	127.0.0.1	OpenFlow	74 Type: OFPT_ECHO_REQUEST
7177	204.36434806	127.0.0.1	127.0.0.1	OpenFlow	74 Type: OFPT_ECHO_REPLY
7178	204.36453306	127.0.0.1	127.0.0.1	TCP	66 6653-35294 [ACK] Seq=214920 Ack=197740 Win=4862 Len=0 TSval=44006 TSecr=44006
7179	204.95935906	127.0.0.1	127.0.0.1	OpenFlow	74 Type: OFPT_ECHO_REQUEST
7180	204.95972106	127.0.0.1	127.0.0.1	OpenFlow	74 Type: OFPT_ECHO_REPLY
7181	204.95976106	127.0.0.1	127.0.0.1	TCP	66 6653-35291 [ACK] Seq=24602 Ack=26925 Win=4222 Len=0 TSval=44155 TSecr=44155
7182	205.18282706	127.0.0.1	127.0.0.1	OpenFlow	167 Type: OFPT_PACKET_OUT
7183	205.18295806	127.0.0.1	127.0.0.1	OpenFlow	167 Type: OFPT_PACKET_OUT
7184	205.18304206	127.0.0.1	127.0.0.1	OpenFlow	167 Type: OFPT_PACKET_OUT
7185	205.18312606	127.0.0.1	127.0.0.1	OpenFlow	167 Type: OFPT_PACKET_OUT
7186	205.18318506	127.0.0.1	127.0.0.1	OpenFlow	167 Type: OFPT_PACKET_OUT
7187	205.18415206	127.0.0.1	127.0.0.1	TCP	66 35290-6653 [ACK] Seq=33714 Ack=45243 Win=1216 Len=0 TSval=44211 TSecr=44210
7188	205.18450906	127.0.0.1	127.0.0.1	OpenFlow	169 Type: OFPT_PACKET_IN
7189	205.18453806	127.0.0.1	127.0.0.1	TCP	66 6653-35286 [ACK] Seq=45933 Ack=34066 Win=4222 Len=0 TSval=44211 TSecr=44211
7190	205.18499906	127.0.0.1	127.0.0.1	OpenFlow	169 Type: OFPT_PACKET_IN
7191	205.18502406	127.0.0.1	127.0.0.1	TCP	66 6653-35288 [ACK] Seq=44823 Ack=33758 Win=4222 Len=0 TSval=44211 TSecr=44211
7192	205.18527806	127.0.0.1	127.0.0.1	OpenFlow	169 Type: OFPT_PACKET_IN
7193	205.18529706	127.0.0.1	127.0.0.1	TCP	66 6653-35291 [ACK] Seq=24602 Ack=27028 Win=4222 Len=0 TSval=44211 TSecr=44211

دقائق وكانت النتائج كما يلي:

الشكل (13): الرزم الواردة إلى المتحكم في حال عدم وجود هجوم

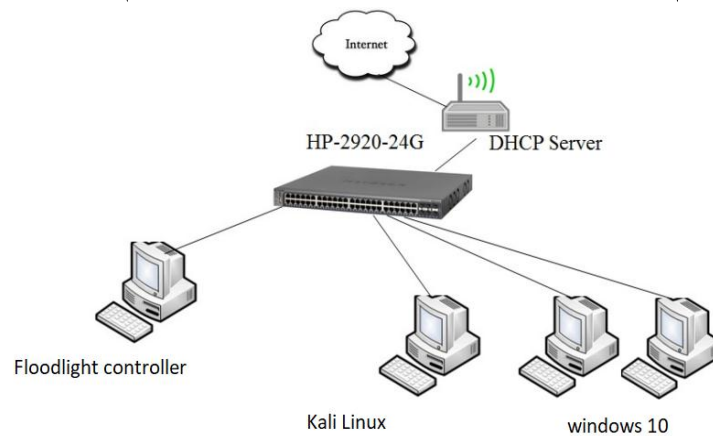
7333	211.75848806	127.0.0.1	127.0.0.1	TCP	66 6653-35291 [ACK] Seq=24937 Ack=27052 Win=4222 Len=0 TSval=45854 TSecr=45854
7334	213.65993906	127.0.0.1	127.0.0.1	OpenFlow	74 Type: OFPT_ECHO_REQUEST
7335	213.65994506	127.0.0.1	127.0.0.1	OpenFlow	74 Type: OFPT_ECHO_REQUEST
7336	213.66039306	127.0.0.1	127.0.0.1	OpenFlow	74 Type: OFPT_ECHO_REQUEST
7337	213.66075406	127.0.0.1	127.0.0.1	OpenFlow	74 Type: OFPT_ECHO_REPLY
7338	213.66080806	127.0.0.1	127.0.0.1	TCP	66 6653-35290 [ACK] Seq=45384 Ack=33952 Win=3327 Len=0 TSval=46330 TSecr=46330
7339	213.66184306	127.0.0.1	127.0.0.1	OpenFlow	74 Type: OFPT_ECHO_REPLY
7340	213.66189406	127.0.0.1	127.0.0.1	TCP	66 6653-35286 [ACK] Seq=46175 Ack=34201 Win=4222 Len=0 TSval=46330 TSecr=46330
7341	213.66201006	127.0.0.1	127.0.0.1	OpenFlow	74 Type: OFPT_ECHO_REPLY
7342	213.66203506	127.0.0.1	127.0.0.1	TCP	66 6653-35293 [ACK] Seq=45820 Ack=27781 Win=3327 Len=0 TSval=46330 TSecr=46330
7343	213.75880906	127.0.0.1	127.0.0.1	OpenFlow	74 Type: OFPT_ECHO_REQUEST
7344	213.75909706	127.0.0.1	127.0.0.1	OpenFlow	74 Type: OFPT_ECHO_REQUEST
7345	213.75939306	127.0.0.1	127.0.0.1	OpenFlow	74 Type: OFPT_ECHO_REPLY
7346	213.75956506	127.0.0.1	127.0.0.1	TCP	66 6653-35294 [ACK] Seq=215263 Ack=197875 Win=4862 Len=0 TSval=46355 TSecr=46355
7347	213.75963906	127.0.0.1	127.0.0.1	OpenFlow	74 Type: OFPT_ECHO_REQUEST
7348	213.75969006	127.0.0.1	127.0.0.1	OpenFlow	74 Type: OFPT_ECHO_REPLY
7349	213.75971606	127.0.0.1	127.0.0.1	TCP	66 6653-35289 [ACK] Seq=44053 Ack=20453 Win=4734 Len=0 TSval=46355 TSecr=46355
7350	213.75976906	127.0.0.1	127.0.0.1	OpenFlow	74 Type: OFPT_ECHO_REPLY
7351	213.75978606	127.0.0.1	127.0.0.1	TCP	66 6653-35288 [ACK] Seq=45267 Ack=33893 Win=4222 Len=0 TSval=46355 TSecr=46355
7352	213.76007106	127.0.0.1	127.0.0.1	OpenFlow	74 Type: OFPT_ECHO_REQUEST
7353	213.76030306	127.0.0.1	127.0.0.1	OpenFlow	74 Type: OFPT_ECHO_REPLY
7354	213.76034206	127.0.0.1	127.0.0.1	TCP	66 6653-35292 [ACK] Seq=59845 Ack=42547 Win=3327 Len=0 TSval=46355 TSecr=46355
7355	213.85881706	127.0.0.1	127.0.0.1	OpenFlow	74 Type: OFPT_ECHO_REQUEST
7356	213.85976806	127.0.0.1	127.0.0.1	OpenFlow	74 Type: OFPT_ECHO_REPLY
7357	213.85985806	127.0.0.1	127.0.0.1	TCP	66 6653-35291 [ACK] Seq=24945 Ack=27060 Win=4222 Len=0 TSval=46380 TSecr=46380

الشكل (14): الرزم الواردة إلى المتحكم في حال وجود هجوم

من الحالة الأولى الممثلة في الشكل (13) نلاحظ أنه في حال عدم وجود هجوم فإنه يتم تبادل 4 أنواع من الرزم: الرزمتان OFPT_ECHO_REQUEST و OFPT_ECHO_REPLY واللذان يتم تبادلهما بكلا الاتجاهين بين المبدلات والمتحكم لمعرفة مدى صلاحية الاتصال، والرزمتان OFPT_PACKET_IN و OFPT_PACKET_OUT من أجل الدلالة على إرسال الرزمة إلى المتحكم عند عدم مطابقتها للقواعد الموجودة في جداول التدفق. أما في الشكل (14) أي بعد تنفيذ هجوم حجب الخدمة فإننا نلاحظ أنه فقط يتم تبادل رزمتين OFPT_PACKET_IN و OFPT_ECHO_REQUEST ولا يوجد أي تبادل للرزم OFPT_PACKET_OUT وذلك يدل على أنه لا يوجد اتصال في الشبكة لأنه لا يتم إرسال أية رسائل أخرى إلى المتحكم.

3.5 السيناريو الرابع

تمت دراسة الشبكة المبينة في الشكل (15) والتي تتكون من مخدم DHCP (Dynamic Host Configuration Protocol) [20] الذي يقوم بتوزيع عناوين IP بشكل ديناميكي وتم الاتصال بهذه الشبكة من قبل نظام تشغيل خاص بالمتحكم Floodlight و نظام KaliLinux يمثل العقدة المهاجمة وأجهزة تعمل بنظام Windows.



الشكل (15): نموذج الشبكة المستخدم في السيناريو الرابع

نفذ هجوم الرجل في المنتصف على المتحكم من قبل مهاجم يستخدم نظام Kalilinux باستخدام الأداة Ettercap على الوصلة ما بين المتحكم وبوابة العبور gateway ودُرست الإنتاجية والتأخير باستخدام الأداة Cbench قبل وبعد تنفيذ الهجوم حيث تم تشغيل المتحكم بفرض وجود 8 مبدلات وتكرار العملية مرتين وحصلنا على النتائج الآتية

- قبل تنفيذ الهجوم

التأخير


```
floodlight@floodlight:~$ cbench -c localhost -s 4 -l 2 -p 6653
cbench: controller benchmarking tool
  running in mode 'latency'
  connecting to controller at localhost:6653
  faking 4 switches offset 1 :: 2 tests each; 1000 ms per test
  with 100000 unique source MACs per switch
  learning destination mac addresses before the test
  starting test with 0 ms delay after features_reply
  ignoring first 1 "warmup" and last 0 "cooldown" loops
  connection delay of 0ms per 1 switch(es)
  debugging info is off
15:22:43.181 4 switches: flows/sec: 82 85 78 72 total = 0.317000 per ms
15:22:44.298 4 switches: flows/sec: 99 101 96 88 total = 0.380708 per ms
RESULT: 4 switches 1 tests min/max/avg/stdev = 380.71/380.71/380.71/0.00 responses/s
floodlight@floodlight:~$
```

الإنتاجية

```
floodlight@floodlight:~$ cbench -c localhost -s 4 -l 2 -t -p 6653
cbench: controller benchmarking tool
  running in mode 'throughput'
  connecting to controller at localhost:6653
  faking 4 switches offset 1 :: 2 tests each; 1000 ms per test
  with 100000 unique source MACs per switch
  learning destination mac addresses before the test
  starting test with 0 ms delay after features_reply
  ignoring first 1 "warmup" and last 0 "cooldown" loops
  connection delay of 0ms per 1 switch(es)
  debugging info is off
15:22:09.200 4 switches: flows/sec: 119 124 125 160 total = 0.527626 per ms
15:22:10.303 4 switches: flows/sec: 131 120 113 118 total = 0.480811 per ms
RESULT: 4 switches 1 tests min/max/avg/stdev = 480.81/480.81/480.81/0.00 responses/s
floodlight@floodlight:~$
```

• بعد تنفيذ الهجوم

التأخير

```
floodlight@floodlight:~$ cbench -c localhost -s 4 -l 2 -p 6653
cbench: controller benchmarking tool
  running in mode 'latency'
  connecting to controller at localhost:6653
  faking 4 switches offset 1 :: 2 tests each; 1000 ms per test
  with 100000 unique source MACs per switch
  learning destination mac addresses before the test
  starting test with 0 ms delay after features_reply
  ignoring first 1 "warmup" and last 0 "cooldown" loops
  connection delay of 0ms per 1 switch(es)
  debugging info is off
15:23:57.527 4 switches: flows/sec: 153 166 153 130 total = 0.600354 per ms
15:23:58.632 4 switches: flows/sec: 149 162 162 152 total = 0.621928 per ms
RESULT: 4 switches 1 tests min/max/avg/stdev = 621.93/621.93/621.93/0.00 responses/s
```

الإنتاجية

```
floodlight@floodlight:~$ cbench -c localhost -s 4 -l 2 -t -p 6653
cbench: controller benchmarking tool
  running in mode 'throughput'
  connecting to controller at localhost:6653
  faking 4 switches offset 1 :: 2 tests each; 1000 ms per test
  with 100000 unique source MACs per switch
  learning destination mac addresses before the test
  starting test with 0 ms delay after features_reply
  ignoring first 1 "warmup" and last 0 "cooldown" loops
  connection delay of 0ms per 1 switch(es)
  debugging info is off
15:25:34.958 4 switches: flows/sec: 100 116 87 98 total = 0.399801 per ms
15:25:36.060 4 switches: flows/sec: 101 100 94 99 total = 0.393353 per ms
RESULT: 4 switches 1 tests min/max/avg/stdev = 393.35/393.35/393.35/0.00 responses/s
```

من النتائج السابقة نلاحظ أن القيمة المتوسطة للتأخير قبل الهجوم هي 380.71 استجابة/ثا بينما بعد تنفيذ الهجوم هي 621.93 استجابة/ثانية أي يوجد تأخير أكبر مقارنة بالحالة ما قبل الهجوم إذ ازداد التأخير بنسبة 63.36% أما بالنسبة للإنتاجية نلاحظ أنه قبل الهجوم القيمة المتوسطة هي 480.81 بينما بعد الهجوم 393.35 أي يوجد انخفاض في الإنتاجية بنسبة 1.82%.

الاستنتاجات والتوصيات:

بعد هذه الدراسة، يمكننا التوصل للاستنتاجات الآتية:

- تمت دراسة ثلاثة سيناريوهات في طوبولوجيات مختلفة، وبينت النتائج في السيناريو الأول أنه في حال كانت مدة الهجوم صغيرة بالنسبة للاتصال المبني فإن الشبكة ستكون قادرة على إعادة الاتصال بين المضيفين، أما في السيناريو الثاني فبينت النتائج أنه في حال كانت مدة الهجوم طويلة مقارنة بمدة الاتصال فإن الشبكة لن تكون قادرة على إعادة الاتصال كما كان قبل الهجوم، وفي السيناريو الثالث ومن خلال مراقبة رزم البروتوكول Open Flow في حال وجود هجوم لاحظنا أن العقد لا ترسل أي رزم إطلاقاً إلى المتحكم كدلالة على خروجها عن الخدمة.
 - أما في السيناريو الرابع الذي قمنا فيه بمهاجمة المتحكم بشكل مباشر فقد وجدنا أن الهجوم يؤدي إلى خفض الإنتاجية وزيادة في التأخير ولكن المهاجم لم يكن قادراً على حجب الخدمة بشكل نهائي وذلك لأن المتحكم يتضمن وحدات خاصة قابلة للتعامل مع الهجمات الخارجية.
- يمكن تلخيص التوصيات في النقاط الآتية:
- العمل على دراسة تطوير للبروتوكول ARP بحيث يمكن مواجهة الهجمات المعتمدة على خداع ARP في حال طبقت سواءً على الوصلات ما بين العقد أو على الوصلة ما بين المتحكم والمبدل مثل هجمات الرجل في المنتصف وحجب الخدمة.
 - العمل على جعل هذا التطوير قادراً على اكتشاف الهجوم خلال زمن منخفض من أجل التعامل مع المهاجم والحد من تأثيره السلبي على الشبكة.

References:

- [1] D. Rana and S. Chamoli, "Software Defined Networking (SDN) Challenges, issues and Solution", in International Journal of Computer Sciences and Engineering, February 2019.
- [2] J. Meghana, T.Subashri and K.Vimal ; "A Survey on ARP Cache Poisoning And techniques for detection and mitigation", in International Conference on Signal Processing, Communications and Networking (ICSCN-2017), India, March 2017.
- [3] W.Xia, Y.Wen, C.Foh, D.Niyato and H.Xie, "a survey on software-defined networking", IEEE communication surveys & tutorials, vol. 17, no. 1, first quarter 2015.
- [4] floodlight.atlassian.net.availableat: <https://floodlight.atlassian.net/wiki/spaces/floodlightcontroller/pages/40403023/web+gui>. Last visit 1 August 2019
- [5] <http://www.projectfloodlight.org/floodlight/>. Last visit 18 September 2019.
- [6] <https://iperf.fr/iperf-download.php>. Last visit 7 October 2019.
- [7] <https://sectools.org/tool/dsniff/> . Last visit 7 October 2019.

- [8] CBench, available at: <https://github.com/mininet/oflops/tree/master/cbench..> Last Visit 1 October 2019.
- [9] A.M.Abdelsalam, A.El-Sisi and V.Reddy, "Mitigating ARP Spoofing Attacks in Software-Defined Networks", in ICCTA ,at Alexandria,Egypt,2015.
- [10] T. Alharbi, D. Durando, F.Pakzad and M.Portmann, "Securing ARP in Software Defined Networks", in IEEE 41st conference on local computernetworks, 2016.
- [11] L. Ertaul and K. Venkatachalam, "Security of Software Defined Networks (SDN)", in int'l conf. wireless networks |icwn'17, isbn: 1-60132-462-6, 2017.
- [12] Open Networking Foundation (ONF). [online]. available: <https://www.opennetworking.org/>. Last visit 15 oct 2019.
- [13] M .Sabih, A .Abu Obaid, Evaluating the Performance of Controllers in Software-Defined Networks, Tishreen University Journal for Research and Scientific Studies, Fifth Issue, 2018.
- [14] <https://whatis.techtarget.com/definition/link-layer-discovery-protocol-LLDP>. Last visit, 25 October 2019.
- [15] S.Sharma, W.Tavernier, S. sahhaf and P.Demeester. "Verification of Flow Matching Functionality in the Forwarding Plane of OpenFlow Networks", in IEICE TRANS. COMMUN., Vol.E98–B, NO.11 November 2015.
- [16] S.Asadollahi and DrB.Goswami, "Experimenting with scalability of floodlight controller in software definednetworks", International Conference on Electrical, Electronics, Communication, Computer and Optimization Techniques (ICECCOT), 2017.
- [17] Di Li, A. Vasilakos and W. Jiafu, "Security in Software-Defined Networking:Threats and Countermeasures," Mobile Networks and Applications, January 2016.
- [18] I. Paul, "Lenovo preinstalls man-in-the-middle adware that hijacks HTTPS traffic on new PCs". PC World, 19 February 2015.
- [19] A.Khalil, R.Badlishah, N. Yaakob, M. Hafiz and M.Elshaikh. "Black hole attack behavioral analysis general network scalability", in Indonesian Journal of Electrical Engineering and Computer Science, Vol. 13, No. 2 February 2019.
- [20] <https://docs.microsoft.com/en-us/windows-server/networking/technologies/dhcp/dhcp-top>. Last visit, 25 October 2019.